

УДК 541.24:532.5

**ИССЛЕДОВАНИЕ ВЛИЯНИЯ ЗАКРУТКИ
НА ЭЛЕКТРОГАЗОДИНАМИЧЕСКИЕ ХАРАКТЕРИСТИКИ
ПОТОКА В ЦИЛИНДРИЧЕСКОМ КАНАЛЕ**

О. В. Матвиенко

*НИИ прикладной математики и механики,
634050 Томск*

Исследование течений униполярно заряженных газовых потоков представляет определенный теоретический и практический интерес, в частности при создании электрогазодинамических преобразователей энергии [1, 2].

Ниже рассматривается задача о влиянии начальной закрутки потока на электрогазодинамические характеристики течения в круглой идеально проводящей трубе с заземленными стенками. Помимо приложений к теории распространения ЭГД-потоков, такая задача имеет и самостоятельное значение, позволяя выяснить некоторые особенности движения заряженных жидкостей в трубопроводах [3, 4].

При описании поля течения применяются двумерные осесимметричные уравнения Навье — Стокса, записанные с использованием переменных функция тока — напряженность вихря. Предполагается, что энергия газового потока много больше энергии электрического поля, так что течение нечувствительно к электрическим процессам, т. е. распределение параметров течения может быть найдено ранее «электрических» характеристик. Таким образом, уравнения движения в безразмерном виде запишутся как

$$\begin{aligned} \frac{\text{Re}}{4} \xi^2 \left\{ \frac{\partial}{\partial x} \left[\frac{\omega}{\xi} \frac{\partial \psi}{\partial \xi} \right] - \frac{\partial}{\partial \xi} \left[\frac{\omega}{\xi} \frac{\partial \psi}{\partial x} \right] \right\} - \left\{ \frac{\partial}{\partial x} \left[\xi^3 \frac{\partial(\omega/\xi)}{\partial x} \right] + \right. \\ \left. + \frac{\partial}{\partial \xi} \left[\xi^2 \frac{\partial(\omega/\xi)}{\partial \xi} \right] \right\} - \text{Re} \xi \frac{\partial V_\theta^2}{\partial x} = 0, \\ \frac{\partial}{\partial x} \left[\frac{1}{\xi} \frac{\partial \psi}{\partial x} \right] + \left[\frac{1}{\xi} \frac{\partial \psi}{\partial \xi} \right] + \omega = 0, \end{aligned} \quad (1)$$

$$\begin{aligned} \frac{\text{Re}}{4} \left\{ \frac{\partial}{\partial x} \left[V_\theta \xi \frac{\partial \psi}{\partial \xi} \right] - \frac{\partial}{\partial \xi} \left[V_\theta \xi \frac{\partial \psi}{\partial x} \right] \right\} - \left\{ \frac{\partial}{\partial x} \left[\xi \frac{\partial V_\theta \xi}{\partial x} \right] + \right. \\ \left. + \frac{\partial}{\partial \xi} \left[\xi \frac{\partial V_\theta \xi}{\partial \xi} \right] \right\} + 2 \frac{\partial V_\theta \xi}{\partial \xi} = 0. \end{aligned}$$

При задании граничных условий предполагалось, что на входе в трубу поток имеет распределение скоростей по закону вращения твердого тела:

$$\psi = \xi^2, \quad \omega = 0, \quad V_\theta = \sigma \xi \quad \text{при} \quad x = 0.$$

На выходе ставились мягкие граничные условия, моделирующие свободное истечение жидкости:

$$\frac{\partial^2 \psi}{\partial x^2} = 0, \quad \frac{\partial^2 \omega}{\partial x^2} = 0, \quad \frac{\partial^2 V_\theta}{\partial x^2} = 0 \quad \text{при} \quad x = 100.$$

На оси трубы справедливы условия симметрии:

$$\psi = 0, \quad V_\theta = 0 \quad \text{при} \quad \xi = 0.$$

На стенке трубы контролировалось постоянство расхода и моделировались условия прилипания:

$$\psi = 1, \quad V_\theta = 0 \quad \text{при} \quad \xi = 1.$$

Напряженность вихря на оси и стенке трубы находилась согласно методике [5]. Осевая и радиальная составляющие скорости определялись при численном дифференцировании функции тока:

$$V_x = \frac{1}{2\xi} \frac{\partial \psi}{\partial \xi}, \quad V_\xi = -\frac{1}{2\xi} \frac{\partial \psi}{\partial x}.$$

Здесь x, ξ — безразмерные продольная и осевая координаты, отнесенные к радиусу трубы R ; ψ — функция тока; $\omega/\xi = 2\xi^{-1}(\partial V_\xi/\partial x - \partial V_x/\partial \xi)$ — безразмерная тангенциальная составляющая напряженности вихря; V_θ — тангенциальная скорость; $\sigma = \Omega R/U$ — параметр, характеризующий интенсивность закрутки на входе в трубу; $Re = 2UR/\nu$ — число Рейнольдса, построенное по среднерасходной скорости $U = \int_0^1 V_x \xi d\xi$.

Моделирование «электрической» части задачи выполнялось при следующих предположениях. Электрические заряды, образованные в области $x < 0, \xi < \xi_i$, вносятся потоком в трубу. Размер сечения входа заряда $\xi_i < 1$. Это сечение характеризуется постоянной плотностью заряда q_i . Отметим, что при движении заряженных частиц в потоках с рециркуляциями становится возможным образование областей, где продольные и поперечные градиенты q имеют один порядок, поэтому в уравнении переноса заряда учтем диффузию в поперечном направлении. Безразмерные уравнения, описывающие распределение потенциала Φ и перенос заряда q , примут вид

$$\begin{aligned} \frac{\partial}{\partial x} \left[\xi \frac{\partial \Phi}{\partial x} \right] + \left[\xi \frac{\partial \Phi}{\partial \xi} \right] + q\xi = 0, \\ \frac{Re \ Sc}{4} \left\{ \frac{\partial}{\partial x} \left[q \left(\frac{\partial \psi}{\partial \xi} - \frac{\partial \Phi}{\partial x} \right) \right] - \frac{\partial}{\partial \xi} \left[q \left(\frac{\partial \psi}{\partial x} + \frac{\partial \Phi}{\partial \xi} \right) \right] \right\} - \\ - \left\{ \frac{\partial}{\partial x} \left[\xi \frac{\partial q}{\partial x} \right] + \frac{\partial}{\partial \xi} \left[\xi \frac{\partial (\omega/\xi)}{\partial \xi} \right] \right\} = 0; \end{aligned} \quad (2)$$

граничные условия для интегрирования этой системы уравнений следующие:

$$\begin{aligned} x = 0: \quad q = q_i \quad (\xi \leq \xi_i), \quad q = 0 \quad (\xi > \xi_i), \\ x = 100: \quad \frac{\partial^2 q}{\partial x^2} = 0, \quad \frac{\partial^2 \Phi}{\partial x^2} = 0, \\ \xi = 0: \quad \frac{\partial q}{\partial \xi} = 0, \quad \frac{\partial \Phi}{\partial \xi} = 0, \\ \xi = 1: \quad q = 0, \quad \Phi = 0. \end{aligned}$$

Здесь переменные Φ, q отнесены соответственно к характерным величинам UR/b и $\varepsilon U/(4\pi Rb)$; b — подвижность заряда; Sc — число Шмидта, которое в расчетах принималось равным единице.

Для решения системы уравнений (1), (2) применялся конечно-разностный метод [5], обладающий достаточной простотой и универсальностью. Задача решалась на неравномерной по обеим координатам сетке 31×15 , имеющей точки сгущения на входе и у стенки трубы. Конечно-разностным аналогом системы дифференциальных уравнений является система нелинейных алгебраических уравнений, которая решалась численно методом Гаусса — Зейделя. Сходимость итераций при $\sigma \geq 3$ обеспечивалась использованием нижней релаксации для напряженности вихря и циркуляции скорости $V_0 \xi$. Критерием сходимости итераций служило выполнение неравенства $|\mathbf{Y}^{(N)} - \mathbf{Y}^{(N-1)}| < 10^{-3} |\mathbf{Y}^{(N)}|$, где N — номер итерации, $\mathbf{Y} = (\psi, \omega/\xi, \bar{v}_0 \xi, q, \Phi)$.

Завершив на этом математическое описание задачи, перейдем к анализу полученных результатов. Заряженные частицы, попадая в канал, наряду с движением в продольном направлении начинают перемещаться и в поперечном. При этом поперечное движение частиц определяется в основном двумя факторами: переносом заряженных частиц потоком газа и движением зарядов относительно газа (при $b \neq 0$) под воздействием электрического поля. На рис. 1 показано распределение поперечной составляющей электрического тока

$$j_\xi = q(V_\xi - \frac{\partial \Phi}{\partial \xi}) - Re^{-1} \frac{\partial q}{\partial \xi}$$

в канале ($x = 0,7$). Кривые 1, 2 соответствуют прямооточному потоку $\sigma = 0$ с $q_i = 1$ и $q = 10$, кривая 3 — закрученному потоку $\sigma = 3$ с $q_i = 3$. Видно, что в случае малой подвижности заряда (малые q_i) основным фактором, определяющим перенос заряда, является конвекция. Именно оттоком газа из пристеночной области в приосевую по мере формирования динамического пограничного слоя объясняются отрицательные значения j_ξ в приосевой области. С увеличением подвижности зарядов большую роль играет перемещение зарядов под действием электрического поля. При этом радиальная скорость движения заряда, вызванная радиальной составляющей электрического поля $\partial \Phi / \partial \xi$, значительно превосходит радиальную скорость конвективного течения. Заряженные частицы, как это можно видеть из рисунка, совершают движение против потока к оси канала (кривая 2).

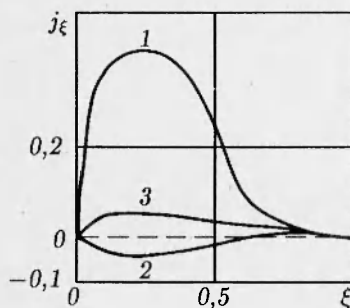


Рис. 1

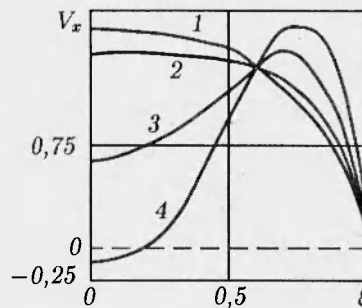


Рис. 2

Перейдем теперь к анализу влияния закрутки на электрогазодинамические характеристики потока. Прежде всего отметим основные особенности скоростных полей. При малых σ (вплоть до $\sigma = 1$) влияние закрутки на распределение скоростей незначительно. При $\sigma > 2$ под действием центробежных сил, возникающих в потоке, в приосевой зоне формируется область пониженного давления. Вследствие этого происходит образование

провала V_x в окрестности оси. Такая область пониженной скорости прокачки образуется вблизи от входа в трубу, где из-за взаимодействия со стенкой уже развились пограничные слои, но тангенциальная составляющая скорости еще велика. С дальнейшим увеличением закрутки ($\sigma > 6$) градиенты давления растут до такой степени, что в приосевой области возникает зона возвратных течений, размеры и форма которой, а также интенсивность течения в ней определяются параметрами Re и σ .

Замедление потока в приосевой области (и даже обращение его при больших σ) ведет к увеличению V_x на периферии. Эпюра V_x имеет максимум при некотором $\xi_m \neq 0$. С ростом σ наблюдаются увеличение максимального значения V_x и смещение ξ_m к стенке. Вниз по потоку под действием сил трения закрутка вырождается и формируется пуазейлевский профиль скоростей. На рис. 2 показано распределение осевой составляющей скорости в сечении $x = 3$ для $Re = 160$. Кривая 1 — прямоточный поток с $\sigma = 0$, а 2-4 — закрученный с $\sigma = 2, 4$ и 6.

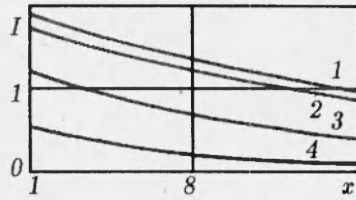


Рис. 3

С ростом закрутки также происходит и увеличение значений радиальной скорости. При этом на начальном участке течения, где преобладают центробежные силы, $V_\xi > 0$, на участке вырождения закрутки $V_\xi < 0$.

Повышение скорости оттока к стенке на начальном участке течения приводит к росту здесь j_ξ (рис. 1, кривая 3) аналогично тому, как наблюдалось при увеличении q_i .

Однако в данном случае перемещение заряда к стенке обусловлено в основном процессами конвекции, вследствие которых заряженные частицы сносятся в окрестность заземленной стенки. Это, в свою очередь, приводит к уменьшению с ростом закрутки тока выноса

$$I = 2\pi \int_0^i j_x \xi d\xi,$$

изменение которого показано на рис. 3, где кривые 1-3 проведены для $Re = 160$, $q_i = 10$, $\sigma = 0, 6$ и 9 соответственно.

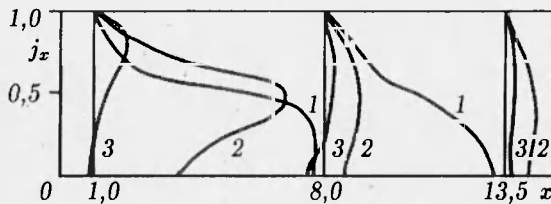


Рис. 4

Наряду с интегральной характеристикой I представляет интерес и распределение плотности продольной составляющей скорости тока j_x по радиусу канала. На рис. 4 приведены радиальные распределения j_x в сечениях $x = 1, 8$ и 13 для $\sigma = 0, 6$ и 9

(кривые 1-3 соответственно). В прямоточном и слабозакрученных потоках протекание электрического тока осуществляется в шнуре радиусом $\xi \approx \xi_i$. С увеличением закрутки картина распределения j_x меняется: при $\xi \approx \xi_i$ наблюдается максимум j_x . В области $\xi < \xi_i$ зависимость $j_x(\xi)$ характеризуется провалом аналогично распределению осевой скорости. Дальнейшее увеличение закрутки приводит к возникновению в приосевой области зоны возвратного электрического тока. При этом заряженные частицы совершают движение по замкнутым линиям, несколько отличающимся от линий тока при ненулевой подвижности заряда или совпадающим с ним при $b = 0$.

ЛИТЕРАТУРА

1. Ватажин А. В., Грабовский В. И., Лихтер В. А., Шульгин В. И. Электрогазодинамические течения. М.: Наука, 1983.
2. Грановский В. Л. Электрический ток в газе. Установившийся ток / Под ред. Л. А. Сена, В. Е. Голанта. М.: Наука, 1971.
3. Грабовский В. И. Электрогидродинамическое течение в плоском канале с осевым электродом-эмиттером // ПМТФ. 1970. № 6. С. 35-40.
4. Ватажин А. В., Грабовский В. И. Распространение униполярно заряженных струй в гидродинамических потоках // ПММ. 1973. Т. 37, вып. 1. С. 57-64.
5. Госмен А. Д., Пан В. В., Ранчел А. Л. и др. Численные методы исследования течения вязкой жидкости. М.: Мир, 1972.

Поступила в редакцию 28/II 1994 г.
